

УДК 539.3

**ГРАНИЧНО-ЭЛЕМЕНТНОЕ МОДЕЛИРОВАНИЕ ЧАСТНЫХ РЕШЕНИЙ ТРЕХМЕРНОЙ ТЕОРИИ ПОРОУПРУГОСТИ<sup>\*)</sup>****И.С. Карелин***НИИ механики Нижегородского госуниверситета им. Н.И. Лобачевского*

Продемонстрирована возможность применения гранично-элементной методики при получении решений краевых динамических задач трехмерной пороупругости. Представлены гранично-элементная методика численного решения одномерных задач пороупругости, а также примеры численного моделирования.

*Ключевые слова:* граничный элемент, пороупругость, граничные интегральные уравнения, численное обращение интегрального преобразования.

**Введение**

Вопросами распространения волн в пористых насыщенных средах в последние годы занимались Н.С. Городецкая (1998), Н. Дунин, Д. Михайлов, В. Николаевский (2002), R. Ababou и др. (2002), D.F. Aldridg и др. (2005), J. Jocker и D. Smenlders (2005), G. Chao и др. (2005), H.F. Wang (2000) и многие другие. Привлечение метода граничных элементов к решению соответствующих задач находится в стадии становления [1–5]. Для учета пористости используется теория М. Био [6, 7]. В статье приводится гранично-элементная методика моделирования волн трехмерной динамической теории пороупругости. Представлены результаты численных экспериментов.

**1. Гранично-элементное моделирование**

Детали редукции исходной начально-краевой задачи трехмерной теории пороупругости к эквивалентной системе разрешающих граничных интегральных уравнений (ГИУ) можно найти в [2–4]. Чтобы ввести ГЭ-дискретизацию, рассмотрим регуляризованные уравнения [4]:

$$\alpha_{\Omega} \tilde{v}_k(x, s) + \int_{\Gamma} (\tilde{T}_{ik}(x, y, s) \tilde{v}_i(y, s) - \tilde{T}_{ik}^0(x, y, s) \tilde{v}_i(x, s) - \tilde{G}_{ik}(x, y, s) \tilde{t}_i(y, s)) d\Gamma = 0. \quad (1)$$

$$\alpha_{\Omega} \tilde{v}_k(x, t) + \int_0^t \int_{\Gamma} (\tilde{T}_{ik}(x, y, t - \tau) \tilde{v}_i(y, \tau) - \tilde{T}_{ik}^0(x, y, t - \tau) \tilde{v}_i(x, \tau) -$$

<sup>\*)</sup> Выполнено в рамках реализации ФЦП «Научные и научно-педагогические кадры инновационной России» на 2009–2013 годы, Программы государственной поддержки ведущих научных школ России (проект НШ-4807.2010.8), а также при поддержке РФФИ (проект 10-08-01017-а).

$$-\tilde{G}_{ik}(x, y, t - \tau) \tilde{t}_i(y, \tau) d\Gamma d\tau = 0, \quad (2)$$

$$x \in \Gamma, \quad \tilde{t} = [t_1, t_2, t_3, q]^T, \quad \tilde{v} = \{u_1, u_2, u_3, p\}, \quad s = \alpha + i\omega,$$

где  $\tilde{v}, \tilde{t}$  – обобщенные перемещения и силы;  $\tilde{G}, \tilde{T}$  – матрицы фундаментальных и сингулярных решений,  $\tilde{T}^0$  – особенности сингулярных решений.

Для численного обращения решения ГИУ (1) использован алгоритм, предложенный Дурбином [8]:

$$f(t_j) \approx 2 \frac{e^{j\alpha\Delta t}}{T} \left[ -\frac{1}{2} \operatorname{Re} \{ \bar{f}(\alpha) \} + \operatorname{Re} \left\{ \sum_{n=0}^N (A(n) + iB(n)) W^{jn} \right\} \right],$$

$$s_n = \alpha + in \frac{2\pi}{T}, \quad W = e^{i2\pi/N},$$

$$A(n) = \sum_{l=0}^L \operatorname{Re} \left\{ \bar{f} \left( \alpha + i(n + lN) \frac{2\pi}{T} \right) \right\}, \quad B(n) = \sum_{l=0}^L \operatorname{Im} \left\{ \bar{f} \left( \alpha + i(n + lN) \frac{2\pi}{T} \right) \right\},$$

$$n = 0, 1, \dots, N, \quad l = 0, 1, \dots, L, \quad t_j = j\Delta t = jT/N, \quad j = 0, 1, \dots, N-1.$$

Для решения ГИУ (2) применен метод квадратур свертки [9, 10]:

$$y(t) = \int_0^t q(t - \tau) g(\tau) d\tau, \quad y(n\Delta t) = \sum_{k=0}^n \omega_{n-k}(\Delta t) g(k\Delta t), \quad n = 0, 1, \dots, N,$$

$$\omega_n(\Delta t) = \frac{R^{-n}}{L} \sum_{l=0}^{L-1} \bar{q}(\gamma R e^{il2\pi/L}) / \Delta t e^{-inl2\pi/L},$$

$$\gamma(z) = \frac{3}{2} - 2z + \frac{z^2}{2}, \quad R^N = \sqrt{\varepsilon}, \quad \varepsilon = 10^{-6}.$$

Базовый процесс ГЭ-дискретизации состоит в разбиении поверхности  $\Gamma$  на граничные элементы: четырехугольные и треугольные восьмиузловые биквадратичные элементы. При этом треугольные элементы рассматриваются как вырожденные четырехугольные элементы. Связь локальной и глобальной систем координат  $\xi = (\xi_1, \xi_2), y = (y_1(\xi), y_2(\xi), y_3(\xi))$  записывается через функции формы  $N^l(\xi)$ :

$$y_i(\xi) = \sum_{l=1}^8 N^l(\xi) y_i^{\beta(k,l)}, \quad i = 1, 2, 3, \quad \xi \in \Delta_e,$$

где  $\beta(k, l)$  – глобальный номер узла, имеющего в  $k$ -м элементе локальный номер  $l$ . Далее определяется естественный базис, метрический тензор и единичная нормаль на элементе.

Неизвестные граничные поля ( $\tilde{v}, \tilde{t}$ ) интерполируются через узловые значения. Рассматриваем случай, называемый согласованным интерполированием, где для аппроксимации граничных перемещений применяем билинейные элементы, а для аппроксимации поверхностных сил – постоянные элементы.

Для получения дискретного аналога ГИУ применяем метод коллокации. В качестве узлов коллокации  $y^m$  выбираются узлы аппроксимации исходных граничных функций. В итоге формируется система линейных алгебраических уравнений, решением которой являются искомые граничные поля.

## 2. Численные результаты

Рассмотрена задача о действии вертикальной силы  $t_3(t) = P_0 f(t)$ ,  $P_0 = -1000$  Н/м<sup>2</sup>,  $f(t) = H(t)$ , на поверхность полупространства со следующими параметрами материала:  $E = 2,544 \cdot 10^8$  Н/м<sup>2</sup>,  $\nu = 0,298$ ,  $\rho = 1884$  кг/м<sup>3</sup>,  $\rho_f = 1000$  кг/м<sup>3</sup>,  $\phi = 0,48$ ,  $\alpha = 0,98$ ,  $R = 1,2 \cdot 10^9$  Н/м<sup>2</sup>,  $k = 3,55 \cdot 10^{-9}$  м<sup>4</sup>/(Н·с). Поверхность полупространства описывается ГЭ-сеткой, состоящей из 1200 элементов (на рис. 1 представлена четверть ГЭ-сетки), радиус ГЭ-сетки 80 м. Нагрузка прилагается к центральному элементу (окрашен).

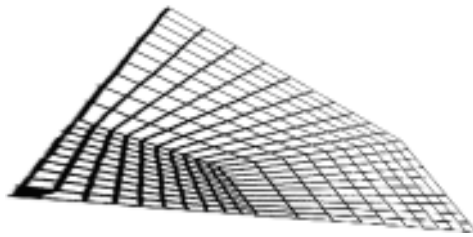


Рис. 1

На рис. 2 приведены спектральные функции в безразмерных величинах для вертикальных перемещений на расстоянии 20 м от области нагружения, на рис. 3 приведены вертикальные перемещения во времени: сплошная линия соответствует ГЭ-решению, штриховая линия соответствует решению из [1].

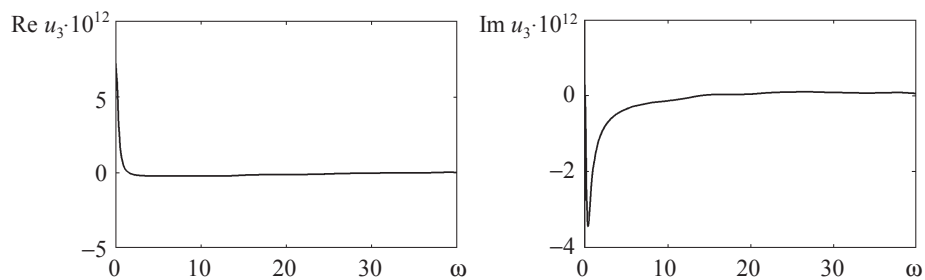


Рис. 2

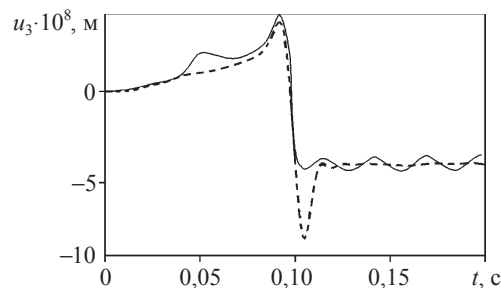


Рис. 3

Решена задача моделирования действия скачка давления  $t_2 = 1$  Н/м<sup>2</sup> на торец порупругого призматического тела, со следующими параметрами материала:  $K = 8 \cdot 10^9$  Н/м<sup>2</sup>;  $G = 6 \cdot 10^9$  Н/м<sup>2</sup>;  $R = 4,7 \cdot 10^8$  Н/м<sup>2</sup>;  $k = 1,9 \cdot 10^{-10}$  м<sup>4</sup>/(Н·с);  $\phi = 1,9$ ;  $\alpha = 0,867$ ;  $\rho = 2458$  кг/м<sup>3</sup>;  $\rho_f = 1000$  кг/м<sup>3</sup>, длина призматического тела составляет 3 м.

Рассмотрена ГЭ-сетка, состоящая из 504 четырехугольных элементов. Результаты расчетов перемещений и давлений приведены на рис. 4, 5 соответственно. Графики, изображенные сплошной линией, соответствуют точному решению. Графики, изображенные штриховой линией, соответствуют решениям, полученным по представленной МГЭ-методике. Пунктирной линией изображены результаты МГЭ-решения, полученного в [1].

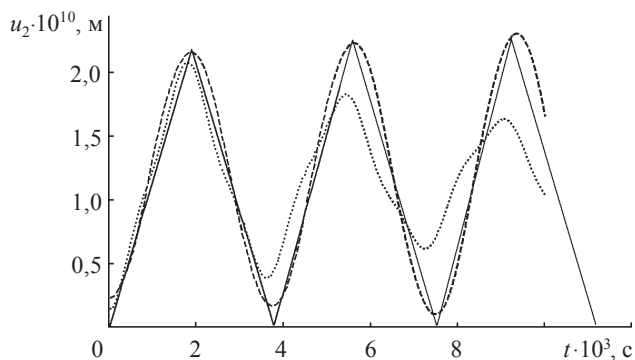


Рис. 4

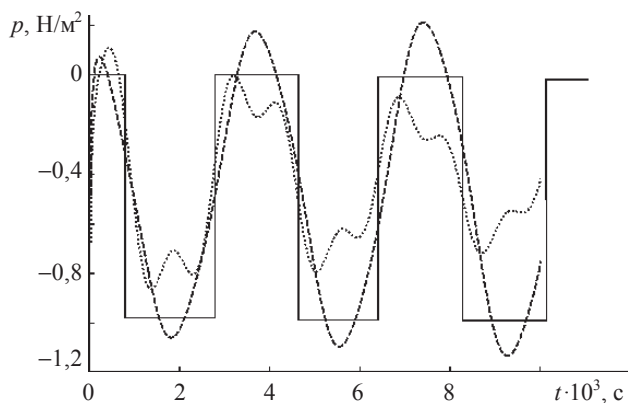


Рис. 5

#### Литература

1. Schanz, M. Wave propagation in viscoelastic and poroelastic continua / M. Schanz. – Berlin: Springer, 2001. – 170 p.
2. Граничные интегральные уравнения для решения динамических задач трехмерной теории порупругости / А.В. Аменицкий [и др.] // Проблемы прочности и пластичности: Межвуз. сб. / Нижегород. ун-т. – 2009. – Вып. 71. – С. 164–171.
3. Аменицкий, А.В. Развитие метода граничных элементов для решения проблемы распространения волн в пористых средах / А.В. Аменицкий, Л.А. Игумнов, И.С. Карелин // Проблемы прочности и пластичности: Межвуз. сб. / Нижегород. ун-т. – 2008. – Вып. 70. – С. 71–78.
4. Баженов, В.Г. Методы граничных интегральных уравнений и граничных элементов в решении задач трехмерной динамической теории упругости с сопряженными полями / В.Г. Баженов, Л.А. Игумнов. – М.: Физматлит, 2008. – 352 с.
5. Jian-Fei, Lu A 2.5-D dynamic model for a saturated porous medium. Part II: Boundary element method / Lu Jian-Fei, Jeng Dong-Sheng, W. Sally // Intern. J. of Solids and Structures. – 2008. – № 45. – P. 359–377.

6. *Biot, M.* Theory of propagation of elastic waves in a fluid-saturated porous solid. I. Low-frequency range / M. Biot // J. Acoust. Soc. Am. – 1956. – V. 28. – № 2. – P. 168–178.
7. *Biot, M.* Theory of propagation of elastic waves in a fluid-saturated porous solid. II. Higher-frequency range / M. Biot // J. Acoust. Soc. Am. – 1956. – V. 28, № 2. – P. 179–191.
8. *Durbin, F.* Numerical inversion of Laplace transforms: an efficient improvement to Dubner and Abate's method / F. Durbin // The Computer Journal. – 1974. – Vol. 17, №4. – P. 371–376.
9. *Lubich, C.* Convolution quadrature and discretized operational calculus. I / C. Lubich // Numerische Mathematik. – 1988. – № 52. – P. 129–145.
10. *Lubich, C.* Convolution quadrature and discretized operational calculus. II / C. Lubich // Numerische Mathematik. – 1988. – V. 52. – P. 413–425.

[21.09.2010]

### **BOUNDARY-ELEMENT MODELING OF SPECIAL SOLUTIONS IN 3-D POROELASTICITY**

**I.S. Karelin**

It is demonstrated that BE-methodology can be used for finding solutions of boundary problems of 3-D dynamic poroelasticity. A BE-methodology for numerically analyzing 1-D problems of poroelasticity is presented together with some examples of the numerical modeling.

*Key words:* boundary element, poroelasticity, boundary integral equations, numerical inversion of integral transformations.